

# بررسی محاسباتی رفتار مکانیکی استنت آلیاز هوشمند تحت بارگذاری محوری برای کاربرد در عروق محیطی

مهمشی مکانیک شریف، (پیاپی ۱۴۰) دوری ۳-۸، شماره ۱، ص. ۱۳-۲۰ (پژوهشی)

فریدن نعمتزاده<sup>\*</sup> (استادیار)

گروه مهندسی هوا و هواشنوئی، دانشکده فنی مهندسی، دانشگاه آزاد

سید خطیب‌الاسلام صدرنژاد (استاد)

دانشکده فنی مهندسی و علم هوا و هواشنوئی، دانشگاه صنعتی شریف

مجید سید صالحی (استادیار)

دانشکده فنی مهندسی و علم هوا و هواشنوئی، دانشگاه صنعتی خواجه نصیرالدین طوسی

استنت از جنس آلیاز هوشمند می‌تواند با کاهش مشکلاتی نظیر استحکام شعاعی ناکافی و رفتار دینامیکی نامناسب نسبت به سایر استنت‌ها برای استفاده در عروق محیطی به کار رود. در این مقاله با استفاده از روش المان محدود رفتار مکانیکی دونوع استنت از جنس آلیاز هوشمند با خواص متالورژیکی و مکانیکی متفاوت مورد مطالعه قرار گرفت. ارزیابی استنت‌ها با اعمال کرنش محوری (لهیدگر) مطابق استاندارد انجام شد. مدل ماده‌های مورد استفاده به منظور توصیف خواص ماده استنت از جنس آلیازهای هوشمند بر اساس ارزی ترمودینامیکی آزاد هلمهولتز و ارزی ترمودینامیکی آزاد گپیس بود. با تغییر دمای پایان آستینتی از ۲۹۳ تا ۳۰۳ درجه کلوین (حدود ۱۰ درجه کلوین)، اختلاف تشنهای مسطح بالایی و پایینی به میزان ۴۰ مگاپاسکال (معادل حدود ۱۲ درصد) افزایش یافت. نتایج کلی بیان‌گر رفتار مطلوب مکانیکی و کلینیکی استنت با دمای پایان آستینتی (Af) بالاتر بدلاً لیلی نظیر نیروی مناسب اعمالی به عروق، استحکام مقاومتی شعاعی و حلقه هیسترزیس کامل وابسته به رفتار ابرکشسانی بعلاوه کمتر و کرنش بیشتر بود. این مطالعه عددی یک راه مناسبی برای بررسی رفتار مکانیکی استنت‌های هوشمند مورد کاربرد در عروق محیطی با توجه به اثرات خواص متالورژیکی و مکانیکی است.

f-nematzadeh@araku.ac.ir  
sadrnezh@sharif.edu  
seyedsalehi@kntu.ac.ir

واژگان کلیدی: آلیازهای حافظه‌دار، استنت، عروق محیطی، روش المان محدود.

## ۱. مقدمه

الزامات اصلی طراحی در ایمیلت‌های پزشکی، طول عمر دستگاه یا به لحاظ مهندسی، عمر خستگی است.<sup>[۱]</sup> میزان شکستگی خستگی در این شرایط ممکن است برای برخی از استنت‌های هوشمند ۵۰٪ باشد و سبب ایجاد استرس شود.<sup>[۲]</sup> استنت هوشمند باید برای تحمل حداقل ۳۸۰ میلیون چرخه، معادل ۱۰ سال عمر طراحی شود. «حد تحمل خستگی» یکی از الزامات طراحی است که می‌تواند با بهینه‌سازی طراحی و تولید حاصل شود. امروزه رفتار خستگی استنت هوشمند به دلیل کاربردهای پزشکی جدید مورد توجه است. چندین محقق رفتارهای مکانیکی و خستگی خودانبساطی استنت‌های هوشمند را بررسی کردند. پلتون و همکاران<sup>[۳]</sup> خستگی و مقاومت استنت هوشمند را با مشاهده‌ی رفتار زیرمجموعه‌ی بازوی استنت ۷ شکل، در معرض بارگذاری چرخه‌ی بررسی کردند. این محققین، اثربخش متوسط و متغیر را روی عمر خستگی یک استنت هوشمند مطالعه کردند. سپس یک مدل پیش‌بینی عمر خستگی برای مدل سازی چندمحوره‌ی استنت هوشمند با استفاده از رویکرد مانسون - کافین تعديل شده معرفی کردند.<sup>[۴]</sup> کار تحقیقاتی دیگر

\* نویسنده مسئول

تاریخ: دریافت ۲۵/۲/۱۴۰۰، اصلاحیه ۱۶/۵/۱۴۰۰، پذیرش ۲۷/۶/۱۴۰۰

DOI:10.24200/J40.2021.58129.1596

پلاک آترواسکلروتیک و پیچیدگی فیزیولوژیکی به عنوان متغیرهای واقعی به نحوه‌ی محاسبه‌ی چرخه‌ی عمر خستگی استنت اضافه شد. از روش‌های المان محدود به منظور محاسبه‌ی نیروهای شعاعی و تعیین عملکرد خستگی یک استنت هوشمند برای عرق آورت شکمی استفاده شد<sup>[۲۱]</sup> و نیز با استفاده از روش‌های محاسباتی مبتنی بر اجزاء محدود با توجه به ترکیبات استنت، سیستم پیوند عملیاتی برای آنوریسم آورت شکمی طراحی شد. محققان رفتار حراري مجیطی و عوامل طراحی مؤثر بر عملکرد استنت - گرفت را با در نظر گرفتن تأثیرات استحکام نیروی شعاعی فاز به دست آوردند.<sup>[۲۲]</sup> پیوند استنت با استفاده از مدل خوکی در پیش‌بینی و کنترل و کاهش در دارا بدن سیار مؤثر است. رویکردهای جدید و تاریخچه‌ی رویه‌های انجام شده، باعث بهبود سریع جریان خروجی می‌شود که می‌تواند در دوره‌ی نوسازی بالینی مؤثر واقع شود.

با توجه به عدم انجام و ارائه تحقیقات مدون در ارتباط با نقش خواص متالورژیکی و مکانیکی مواد در عملکرد مکانیکی استنت ها، هدف مقاله‌ی حاضر استفاده از روش اجزاء محدود برای بررسی رفتار مکانیکی و کلینیکی یک نوع استنت جدید طراحی شده از جنس آلیاژ هوشمند با خواص متالورژیکی و مکانیکی متفاوت با در نظر گرفتن مدل‌های ماکروسکوپی توصیف خواص مواد نظیر نظریه‌های ترمودینامیکی مبتنی بر انرژی‌های آزاد علمهولتز و گیپس برای کاربرد در عروق مجھیطی تحت بارگذاری محوری (لندگر) است.

۲. تشریح فرایند مدل‌سازی

#### ۱.۲. مدل‌های ماکروسکوپی رفتار آلیاژهای هوشمند

اولین مدل مادی برای توصیف رفتار ابرکشسانی آلیاژهای هوشمند، بر اساس مدل ماکروسکوپی آریشیو- تیلور مبتنی بر نظریه‌ی کشسانی - خمیری و بر پایه‌ی انرژی آزاد ترمودینامیکی هالمهولتز است. در این مدل کرنش شامل دو بخش ۱. الاستیک خطی ۲. تغییر حالت (استحاله) است، که به صورت معادله‌ی ۱ نشان داده می‌شود. در این نظریه، تبدیل آستینیت به مارتزیت به راساس نیروهای برشی صورت می‌گیرد (معادله‌ی ۲). در این بازه تنش، که در آن این تحول انجام می‌شود (معادله‌ی ۳)، اگر به هر دلیلی تغییر در جهت‌گیری تنش اعمال شود، باعث جهت‌گیری مجدد مارتزیت شده و اثرات قابل چشم‌پوشی دیگری ایجاد خواهد کرد. هرگونه تغییرات دمایی، باعث تغییر بزرگی در تنش‌های تغییر فاز و تغییر خطی مستقیم می‌شود. به همین دلیل است که تحول در بارگذاری کشش همراه با افزایش حجم است و تنش کمتری نسبت به فشار، به دنبال دارد. پتانسیل انتقال توسط روش خطی مستقیم بارگذاری شده است:

$$\Delta \in = \Delta \in^{eL} + \Delta \in^{tr} \quad (1)$$

$$\Delta \in^{\text{tr}} = \alpha \Delta \zeta \frac{\partial F}{\partial \sigma} \quad (\text{1})$$

$$F^s \leq F \leq F^F \quad (3)$$

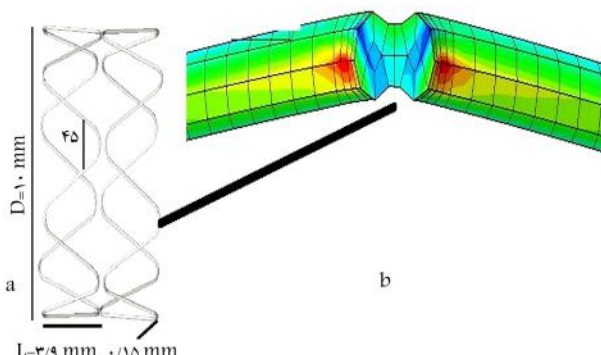
$$F = \bar{\sigma} - P \tan \beta + CT \quad (4)$$

که در آن  $\Delta^L$ : کرنش الاستیک،  $\Delta^{tr}$ : کرنش تغییر حالت،  $\alpha$ : ضریب کرنش،  $\zeta$ : کسر حجمی مارتنتزیت،  $F$ : تابع پتانسیل انتقال (شروع و پایان استحالة)،  $\sigma$ : تنش میانگین میسیس،  $P$ : تشنجاری،  $\beta$ : ثابت ماده،  $C$ : نسبت تش تش به دما و  $T$ : دما

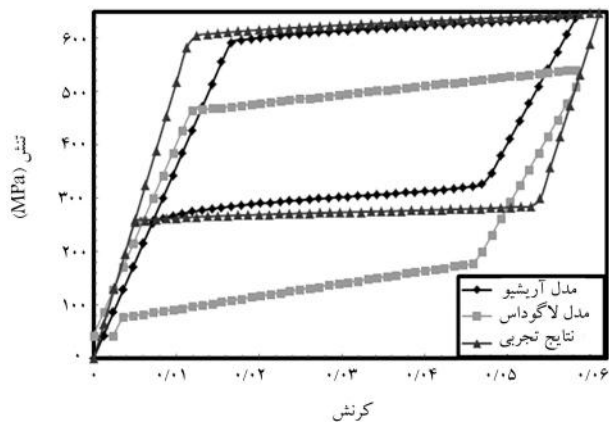
دو مدل مادی برای توصیف رفتار ابرکشسانی آلیاژهای هوشمند، بر اساس مدل ماکروسکوپی لگوداس مبتنی بر انرژی آزاد ترمودینامیکی گیبس است. در مدل

مبتنی بر آنالیز المان محدود توسط کلیت استر و همکاران انجام گرفت<sup>[۶]</sup> تا اثرات کرامپینگ، قوارگیری و بارگذاری فشار چرخه‌ی روی عمر خستگی استنت - گرفت بررسی شود. آنها مقاومت خستگی دو ماده‌ی استنت هوشمند و گرفت را مطالعه کردند. همچنین تأثیر یک طراحی استنت کارتوئید روی برهم‌کش‌های عرق - استنت هوشمند نیز بررسی شده است.<sup>[۷]</sup> اخیراً، تأثیر ویژگی‌های هندسی یک استنت هوشمند نیز بررسی شده است:<sup>[۸]</sup> این ویژگی‌ها بر نیروی خارجی مزمن، بستگی به طراحی استنت و ابعاد پایه دارد. با این که کارگستردگی برای ارزیابی رفتار ساختاری استنت‌های هوشمند خودآبسط صورت گرفته است، باید برای تعیین رفتار خستگی و برهم‌کش ساختاری این استنت‌ها با دیواره‌ی عرق بررسی‌های بیشتری صورت گیرد. به تازگی چندین مقاله در ارتباط با بهینه‌سازی طراحی استنت منتشر شده است.<sup>[۹]</sup> سانجای و همکاران<sup>[۱۰]</sup> یک رویکرد بهینه‌سازی طراحی استنت کرونر چندرشته‌ی توسعه دادند. همچنین، نینگ و همکاران<sup>[۱۱]</sup> شکل استنت عرق کرونر را بهینه‌سازی کردند که بر مدل پارامتریک مبتنی بود. نعمت‌زاده و همکاران<sup>[۱۲]</sup> از روش اجراء محدود برای بررسی تأثیر بارگذاری شعاعی و دمای آستینیتی آلیاژ هوشمند بر رفتار مکانیکی استنت عرق فمورال استفاده کردند. تحقیقات آنها نشان داد که دمای پایین آستینیتی آلیاژ هوشمند به دلیل استحکام مکانیکی کم شعاع برای بازکردن عرق فمورال، استحکام مکانیکی مقاومت‌کننده‌ی شعاعی زیاد برای بازکردن عرق فمورال و نیز عملکرد ابرکشسانی کامل ترا، دارای عملکرد مکانیکی و بالینی مناسبی است. وانگ و همکاران<sup>[۱۳]</sup> با استفاده از روش المان محدود و روش بهینه‌سازی پاسخ سطحی پارامترهای هندسی مؤثر بر عملکرد استنت‌های از جنس آلیاژهای حافظه دار برای کاربرد در مهره‌های بدن را تعیین کردند. نشان دادند که نسبت مقاومت شعاع استنت از طبقه است-است-الماء،

و نمی‌بینیم در مورد سه سئوال دیگر که یکی روی ساده‌سازی است و دویی روی محاسباتی اثرا تبدیل فازی، نقشی کلیدی در این ارتباط بازی می‌کند. با بررسی محاسباتی اثرات ضریب اصطکاک بر تعامل بین استنت نایتینولی و عروق محیطی،<sup>[۱۴]</sup> مشخص شد که افزایش ضریب اصطکاک بین استنت نایتینولی و عروق محیطی به تغییر قابل توجه میراث تنش و کرنش نمی‌انجامد. عملکرد مکانیکی استنت‌های نایتینولی بافته شده توسط زینگ و همکاران ارزیابی شد.<sup>[۱۵]</sup> برای به دست آوردن طرح بهینه‌ی استنت، اثرات زاویه‌ها، قطرهای سیم و پیکربندی‌های بافته شده‌ی سیم‌ها بر عملکرد مکانیکی استنت در حین اتصال، با درنظر گرفتن استحکام مقاومت شعاعی، ارتفاع طولی و عدم تحرک استنت و با استفاده از روش اجزاء محدود مورد مطالعه قرار گرفت. برای در نظر گرفتن میراث انحنای استنت در شبیه‌سازی به روش اجزاء محدود یک شیوه‌ی ابتکاری ارائه شده<sup>[۱۶]</sup> که در آن، با در نظر گرفتن شرایط دقیق مرزی و با اعمال کرنش شعاعی به منظور کاهش قطر استنت برای کاربرد کلینیکی استفاده شد. با استفاده از روش المان محدود، بهینه‌سازی شکل استنت‌های آلیاژ منیزیم زیست تخریب‌پذیر (BMgS) بررسی شد<sup>[۱۷]</sup> و داشش جدیدی در ارتباط با نحوه‌ی تأثیر اعوجاج بر رفتار زیست‌مکانیکی استنت‌های فوق را ارائه کردند. بعد از مدل‌سازی محفظه‌ی استنت‌ها در عروق ناسالم با ویژگی‌های واقعی کارکردی،<sup>[۱۸]</sup> نتایج حاصله برای توضیح عملکرد استنت‌ها در مورد اثرات عروق خونی به ویژه فشار زیاد در لایه‌ی عروق، پلاک و آسیب‌های ایجاد شده هنگام مداخله‌ی کلینیکی، مقایسه و نشان داده شد که دلیل اصلی شکستن پلاک در طول قرارگیری استنت و تنگی مجدد استنت است. در حین مراحل ترمیم آنوریسم آنورت و همچنین درون عروق آنورت، کرنش اتصالات، تنش نهایی و نیروهای تنسی در استنت هوشمند ارزیابی شد.<sup>[۱۹]</sup> و نیز با استفاده از تنسی، جریان خون با حضور استنت مدل‌سازی شد. در بررسی جامع مبتنی بر روش اجزاء محدود، و با در نظر گرفتن پارامترهای ضروری و عملی، عملکرد خستگی استنت ارزیابی شد.<sup>[۲۰]</sup> بر اساس نتایج به دست آمده،



شکل ۱. مشخصات هندسی استنت طراحی شده و محل مطالعه‌ی مشخص شده‌ی استنت برای باز کردن عروق محیطی.



نحوه دار ۱. مقایسه‌های رفتار‌المانی از آلیاژ هوشمند بر مبنای نتایج تجزیی خواص ماده در جدول‌های ۱ تا ۴ [۲۹ و ۳۰] بر مبنای نظریه‌های آریشیو [۳۱ و ۳۵] و لاغوداس. [۲۹ و ۳۳]

### ۳.۲. المازنندی، شهاب‌اطله مدنی و بارگذاری

با توجه به این که استنت‌های در حین کارکرد در بدن دچار خمیدگی، کمانش و تحت فشار به ویژه در جاگذاری آن در عروق محیطی می‌شوند، یکی از آزمایش‌های ارزیابی عملکرد استنت‌ها، آزمایش بازگذاری محوری نشاری (لهیگ) است. مطابق شکل ۲، برای انجام آزمایش لهیگ، دو صفحه‌ی صلب موازی استنت در جهت

جدها . لیست با امتی های ، م به ط ب خواص . مداده ، آلبانی هوشمند ، حبیت عوقه محبت . می اسما ، می اسما ، آشنه . [۱۰۶ و ۱۳۲-۱۳۳]

$A$	$\nu_A$	$E_M$	$\nu_M$	$\varepsilon^L$	$(\frac{\delta\sigma}{\delta T})_L$	$\sigma_L^S$	$\sigma_L^E$
517.0	0.13	18054	0.13	0.163	6/027	9.00	97.0
$T_c$	$(\frac{\delta\sigma}{\delta T})_L$	$\sigma_U^S$	$\sigma_U^E$	$\sigma_{CL}^S$	$\varepsilon_V^L$	$\varepsilon_{\max}$	$A_f$
21.0	6/027	288	254	9.00	0.163	0.12	293

حدوٰ ۲. لیست بآامت های، ص به ط بخواص، مداده، آلبانی هوشمند ۳، جهت عوّق محیط، اسما، آشیانه، [۱۶۰ و ۱۲۳-۱]

$E_A$	$\nu_A$	$E_M$	$\nu_M$	$\varepsilon^L$	$(\frac{\delta\sigma}{\delta T})_L$	$\sigma_L^S$	$\sigma_L^E$
40000	°/46	47800	°/46	°/°4	δ/027	390	420
$T_c$	$(\frac{\delta\sigma}{\delta T})_U$	$\sigma_U^S$	$\sigma_U^E$	$\sigma_{CL}^S$	$\varepsilon_V^L$	$\varepsilon_{\max}$	$A_f$
310	δ/027	14°	130	580	°/°4	°/12	303

حاضر از زی آزاد تابعی از تنش، دما، کرنش تبدیل و درصد فاز مارتنتزیت در نظر گرفته می شود (معادله ۵) :

$$G(\sigma, T, \varepsilon^t, \varsigma^\varepsilon) = -\frac{\lambda}{\tau\rho}\sigma : S : \sigma - \frac{\lambda}{\rho}\sigma : [\alpha(T - T_*) + \varepsilon^t] \\ + C \left[ (T - T_*) - T \ln \left( \frac{T}{T_*} \right) \right] + U_* - S_*^T + f(\varsigma^\varepsilon)$$

که در آن  $s$ ,  $\alpha$ ,  $c$ ,  $\rho$ ,  $u$  به ترتیب ماتریس نرمی مؤثر، ماتریس ضرائب انبساط حرارتی مؤثر، دمای ویژه مؤثر، چگالی، آنتروپوی ویژه مؤثر و انرژی داخلی مؤثر هستند. پارامترهای  $\sigma$ ,  $T$ ,  $E$ ,  $\psi$  نیز به ترتیب نشان‌دهنده‌ی تانسور تنشی کوشی، دما، دمای مبنیا، کرنش تبدیل و کسر فاز مارتزیت هستند. مقدار  $\psi$  برای فاز آستینیت خالص برابر صفر، برای فاز مارتزیت خالص برابر ۱ و برای حالت تبدیل فاز عددی بین صفر و ۱ است؛ تابع  $(\psi)$  نیز تابع سختی است.<sup>[۲۶۳۲]</sup>

## ٤.٢ طراحی استنت، ارزیابی و اعتبارسنجی نتایج

در این مقاله از نرم افزار آباکوس به دلیل دارا بودن مزیت هایی چون زیر برنامه های متغیر برای تعریف آلیاژ، تنوع حل صریح و استاندارد مسائل، توان محاسباتی در زمینه کاربردهای پژوهشکی نظری است. همچنین امکان تعریف مواد به صورت زیر برنامه، نسبت به زبان های برنامه نویسی ویژوال استودیو و فرتزن استفاده شده است. به دلیل واپستگی هندسه ای استنت ها به ثبت اخترع های سخت گیرانه، مطابق شکل ۱، یک نمونه هندسی طراحی شده برای کاربرد در عروق محیطی با نرم افزار کتیا و بر اساس کاتالوگ ها، مقالات و گزارش های کلینیکی تهیه شد.<sup>[۴]</sup>  
اعتبارسنجی نتایج تجربی و نظریه های به کار گرفته شده برمبنای کارهای آریشیو و لاگوداس انجام شد، خواص مواد مطابق جدول های ۱ تا ۴ به صورت زیر برنامه در نرم افزار آباکوس تعریف شد. قبل از انجام آزمایشات، ابتدا یک المان از ماده ای آلیاژ هوشمند تحت بارگذاری کششی در نظر گرفته و نتایج حاصله از مدل آریشیو<sup>[۵]</sup> و مدل لاگوداس<sup>[۶]</sup> با نتایج تجربی مقایسه شد. مطابق نمودار ۱، مدل آریشیو نسبت به مدل لاگوداس تطبیق بهتری با نتایج تجربی داشت؛ در نتیجه خواص آلیاژ هوشمند برای استنت به صورت زیر برنامه های مبتنی بر تئوری آریشیو تعریف شد.

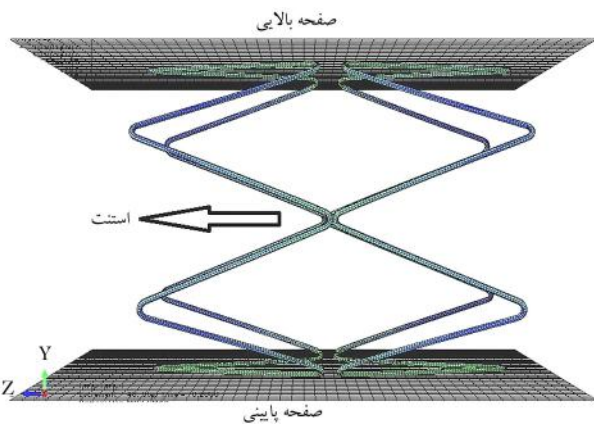
جدول ۳. لیست پارامترهای مربوط به خواص ماده‌ی آلیاژ هوشمند ۱ جهت عروق محیطی بر اساس مدل لایگوداس. [۲۴، ۲۹-۲۳، ۱۲، ۶]

$E_A$	$\nu_A$	$E_M$	$\nu_M$	$\rho$	$K_A$	$C_A$	$\alpha_A$
۵۱۷۰۰	۰/۳	۱۸۵۵۴	۰/۳	۶۴۵۰	۱۸	۳۲۰	$۱۱ \times 10^{-6}$
$\alpha_M$	$\rho_{SA}$	$\rho_{SM}$	$M_f$	$M_s$	$A_S$	$A_f$	$T_0$
$۶/۶ \times 10^{-6}$	$-۰, ۲۹۴۷ \times 10^6$	$-۰, ۹۲۸ \times 10^6$	۲۸۴	۲۸۹	۲۹۱	۲۹۵	۳۱۰

$E_A$	$\nu_A$	$E_M$	$\nu_M$	$\rho$	$K_A$	$C_A$	$\alpha_A$
۴۰۰۰۰	۰/۴۶	۴۷۸۰۰	۰/۴۶	۶۴۵۰	۱۸	۳۲۰	$۱۱ \times 10^{-6}$
$\alpha_M$	$\rho_{SA}$	$\rho_{SM}$	$M_f$	$M_s$	$A_S$	$A_f$	$T_0$
$۶/۶ \times 10^{-6}$	$۰, ۸۵۱ \times 10^6$	$-۰, ۴۵۲ \times 10^6$	۲۳۵	۲۵۰	۲۵۱	۲۸۴	۳۱۰

جدول ۴. لیست پارامترهای مربوط به خواص ماده‌ی آلیاژ هوشمند ۲ جهت عروق محیطی بر اساس مدل لایگوداس. [۲۴، ۲۹-۲۳، ۱۲، ۶]



شکل ۲. شماتیک شرایط بارگذاری تست لهیدگی شامل صفحات پایینی، بالایی و استنت.

خواهند داشت: حلقه‌ی هیسترزیس مکانیکی (ابرکشسانی) کامل، استحکام مکانیکی مناسب شعاعی برای بازکردن عروق محیطی COF<sup>۱</sup>، بیشترین استحکام مکانیکی مقاومت‌کننده‌ی شعاعی برای بازکردن عروق محیطی RRF<sup>۲</sup>، کرنش تغییر حالت بالا، تنش کمتر در نقاط بحرانی استنت، کرشن بالا (طول منظمه‌ی تغییر‌شکل ابرکشسان زیاد)، جایه‌جایی بیشینه، تشکیل درصد بالای مارتزیت در ساختار استنت، عدم قرار گرفتن استنت در محدوده‌ی الاستیک و همچنین در محدوده‌ی ایمن بودن استنت در برابر شکست.<sup>[۲۹-۲۴]</sup> از طرفی خواص ماده‌ی مورد استفاده در استنت‌های هوشمند با معادلات کلاریوس - کلاریون ارتباط دارد (معادله ۶):

$$\frac{d\sigma}{dT} = \frac{\rho \Delta S f_m}{\epsilon t} = \frac{\rho \Delta H f_m}{T^0 \epsilon t} \quad (6)$$

$\sigma$ : سطح تنش،  $\epsilon_t$ : کرنش استحاله،  $H$ : آنتالپی استحاله در واحد حجم،  $\rho$ : چگالی استحاله،  $\Delta S$ : تغییرات آنتروپی استحاله،  $T$ : دمای تعادل استحاله و  $f_m$ : درصد کسر حجمی مارتزیت است.<sup>[۱۲]</sup>  $\Delta T$  طبق معادله ۷ محاسبه می‌شود:

$$\Delta T = (T_{reference} - T A_f) \quad (7)$$

که در آن  $T_{reference}$  مربوط به دماهای کلینیکی و  $T A_f$  مربوط به دماهای پایان استحاله‌ی آستنتی بوده و به خواص ماده مرتب است. تقریباً برای ۷ درجه‌ی سانتی‌گراد اختلاف دمای  $A_f$  حدوداً ۵۰٪ تغییرات در سطح تنش‌های مسطح بالایی و تنش‌های مسطح پایینی در استنت‌های هوشمند قابل مشاهده است. به ازای هر ۱ درجه دمای  $A_f$  پایین‌تر، تنش مسطح بالایی و تنش مسطح پایینی در حد ۴ MPa افزایش خواهد یافت.<sup>[۱۲]</sup> در نمونه ۲ شماتیک نیروهای موجود در هنگام بارگذاری و باربرداری در استنت هوشمند شناس داده شده است.<sup>[۲۹، ۱۲]</sup> استنت‌های آلیاژ هوشمند طراحی شده برای کاربرد در عروق محیطی در شکل ۱ و با خواص مواد ذکر شده در جدول‌های ۱ تا ۴ مشخص شده است. آزمایش لهیدگی به میزان ۷۰ و ۹۰ درصد به نمونه‌های استنت عروق محیطی مطابق جدول‌های ۵ و ۶ و شکل‌های ۳ تا ۱۰ اعمال شد. مطابق شکل‌های ۳ تا ۶، جدول‌های ۱ تا ۴ و جدول ۵، تنش‌ها و کرنش‌ها برای شروع رفتار ابرکشسانی در ۷۰ درصد لهیدگی کافی نیست. همچنین نتایج مربوط به میزان شکل‌گردی مارتزیت نیز در جدول ۵، بیان‌گر عدم شروع استحاله‌ی مارتزیتی و در واقع عدم اخذ رفتار ابرکشسانی برای استنت‌های مذکور است. بنابراین استنت‌های طراحی شده، به دلیل عدم ارائه‌ی رفتار ابرکشسانی، برای کاربرد در عروق محیطی مناسب نیستند.

محور  $x$  تحت فشار قرار داده شد. فاصله‌ی بین صفحات فوق متناسب با قطر خارجی استنت‌ها بود. تماس سطح بین صفحات سخت صلب واستنت، انعطاف‌پذیر و بدون اصطکاک برقرار شد. صفحه‌ی صلب پایینی در تمامی جهات بسته شد و صفحه‌ی صلب بالایی فقط در جهت  $x$  امکان حرکت داشت. چهارگره از استنت در جهات  $z$  و  $y$  بسته شد و فقط در جهت  $x$  امکان حرکت داشتند. جایه‌جایی در جهت  $x$  و از طریق صفحه‌ی صلب بالایی و به میزان ۷۰ و ۹۰ درصد کاهش قطر استنت اعمال و کاملاً باربرداری شد. به منظور کاهش زمان محاسبات و با استفاده از فواید تقارن محوری، تنها یک چهارم مدل‌ها مورد تحلیل قرار گرفت. از المان مکعبی C38ADI با تعداد المان ۱۲۶۲۴ برای استنت و از المان R3D4 با تعداد المان ۲۰۰۰۰ برای سطح صفحات صلب فشاردهنده‌ی استنت استفاده شد. به دلیل پیچیدگی زیاد و اندازه‌ی بسیار کوچک استنت‌ها، از نرم افزار هایپر مشن برای مش زدن نمونه‌ها استفاده شد. دانسیته‌ی مش به طور تقریبی ۱۳۵ المان و ۱۰۲۵ گره بر میلی‌متر مربع به دست آمد.

### ۳. نتایج و بحث

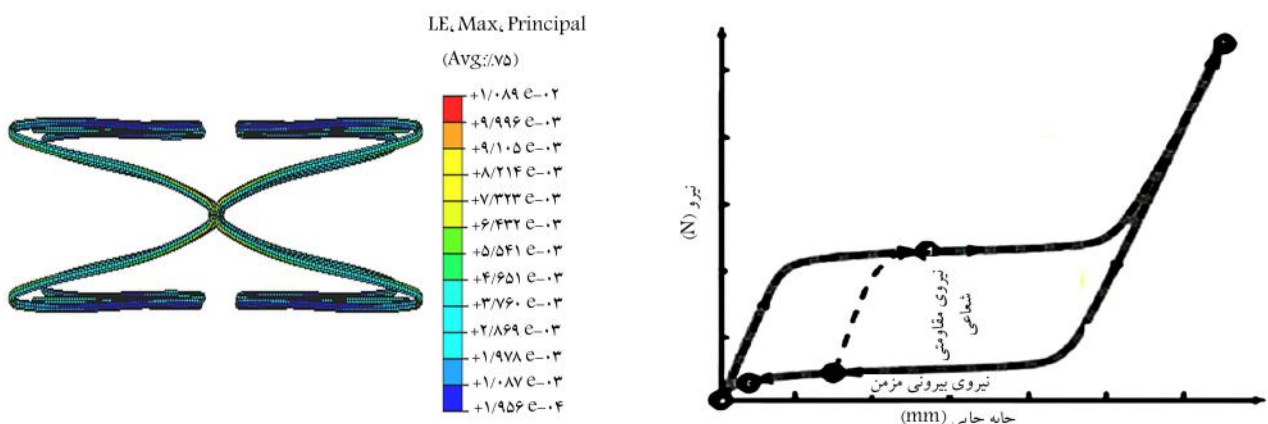
استنت‌های هوشمند با داشتن ویژگی‌های زیر، کاربرد مکانیکی و کلینیکی مطلوبی

جدول ۵. نتایج به دست آمده برای عروق محیطی با تغییر خواص مواد استنت برای  $70^{\circ}$  درصد لهیدگی.

خواص ماده استنت	تنش فون میسنس	درصد مارتنزیت تشکیل شده	کرنش
استنت ماده ۱ (جدول ۱)	۷۷۹,۵	۰,۰۱۰	-
استنت ماده ۲ (جدول ۲)	۵۹۳,۴	۰,۰۱۰	-

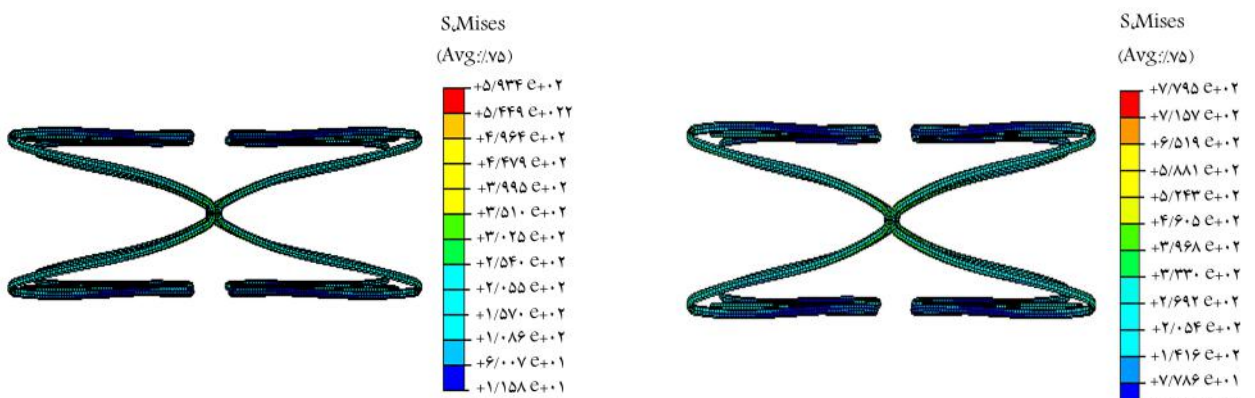
جدول ۶. نتایج به دست آمده برای عروق محیطی با تغییر خواص مواد استنت برای  $90^{\circ}$  درصد لهیدگی.

خواص ماده استنت	تنش فون میسنس (MPa)	درصد مارتنزیت تشکیل شده	کرنش
استنت هوشمند با خواص ماده ۱	۱۱۲۹	۰,۰۱۹۸	۰,۱۸۸
استنت هوشمند با خواص ماده ۲	۷۵۱,۴	۰,۰۲۱۱	۰,۳۲۹



شکل ۴. کرنش به دست آمده ناشی از  $70^{\circ}$  درصد لهیدگی انجام شده روی نمونه‌های استنت عروق محیطی در شکل ۱ و برای خواص ماده ۱ در جدول ۱.

نمودار ۲. شماتیک نیروهای موجود در هنگام بارگذاری و باربرداری استنت هوشمند. [۲۹] و [۲۰]

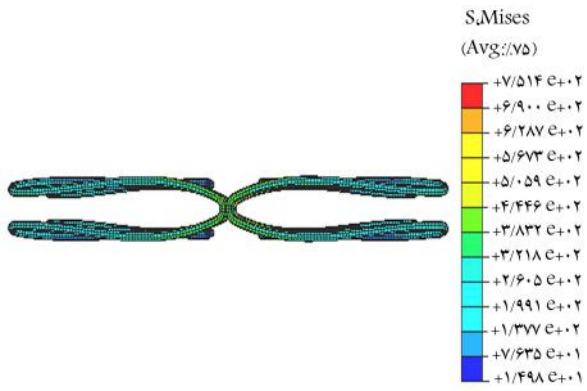


شکل ۵. تنش فون میسنس به دست آمده ناشی از  $70^{\circ}$  درصد لهیدگی انجام شده روی نمونه‌های استنت عروق محیطی در شکل ۱ و برای خواص ماده ۲ در جدول ۲.

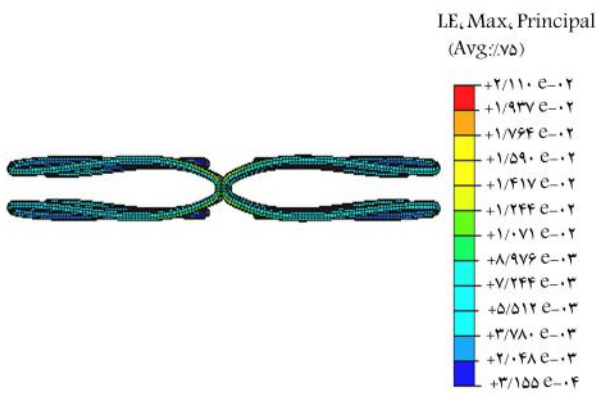
شکل ۳. تنش فون میسنس به دست آمده ناشی از  $70^{\circ}$  درصد لهیدگی انجام شده روی نمونه‌های استنت عروق محیطی در شکل ۱ و برای خواص ماده ۱ در جدول ۱.

با افزایش درصد لهیدگی از  $70^{\circ}$  درصد به  $90^{\circ}$  درصد در نمونه‌های مورد بررسی استنت‌ها، مقایسه‌ی نمونه استنت با خواص ماده ۱ در جدول ۱، جدول ۶ و شکل‌های ۷ و ۸ و نمونه استنت با خواص ماده ۲ در جدول ۲، جدول ۶ و شکل‌های ۹ و ۱۰ مربوط به توزیع تنش و کرنش در منحنی درونی استنت‌ها بیان‌گر کاهش تنش از  $1129 \text{ MPa}$  به  $751,4 \text{ MPa}$ ، افزایش کرنش از  $0,0198$  به  $0,0211$  و افزایش درصد مارتنزیت تشکیل شده از  $0,0188$  به  $0,0329$  است. نسبت این تغییرات تقریباً  $3,62$  و  $6,56$  درصد است. بیشترین تنش در

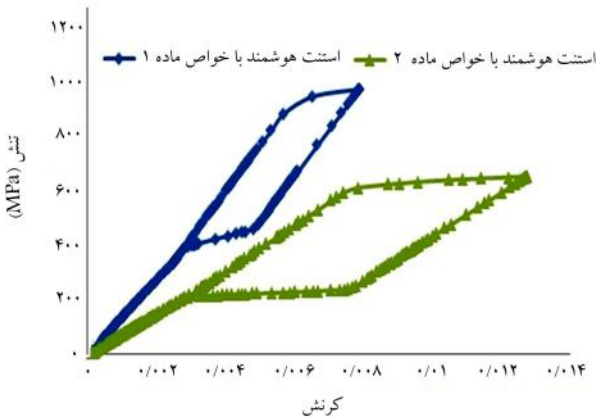
منحنی درونی نمونه استنت با خواص ماده ۱ در جدول ۱ بیشتر از نمونه استنت با خواص ماده ۲ در جدول ۲ بوده، نمونه‌ی دومی نسبت به اولی به لحاظ مکانیکی (متاثر از تنش کمتر) برای کاربرد در عروق محیطی ترجیح داده می‌شود. کرنش بیشینه در منحنی درونی نمونه استنت با خواص ماده ۱ در جدول ۱ کمتر از نمونه استنت با خواص ماده ۲ در جدول ۲ بوده، نمونه‌ی دومی نسبت به اولی به دلیل رفتار دینامیکی مطلوب (متاثر از کرنش بیشتر) با عروق محیطی



شکل ۹. تنش فون میسنس به دست آمده ناشی از  $90^{\circ}$  درصد لهیدگی انجام شده روی نمونه‌های استنت عرق محيطي در شکل ۱ و برای خواص ماده ۲ در جدول ۲.

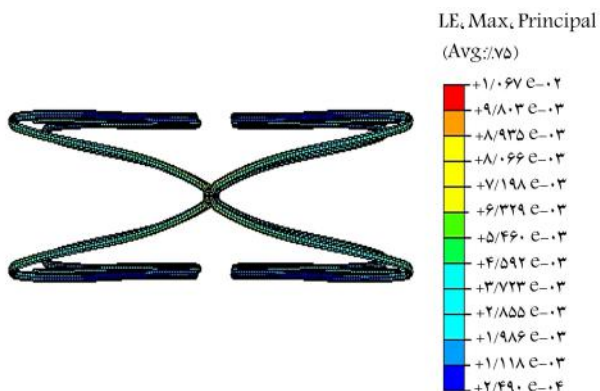


شکل ۱۰. کرنش به دست آمده ناشی از  $90^{\circ}$  درصد لهیدگی انجام شده روی نمونه‌های استنت عرق محيطي در شکل ۱ و برای خواص ماده ۲ در جدول ۲.

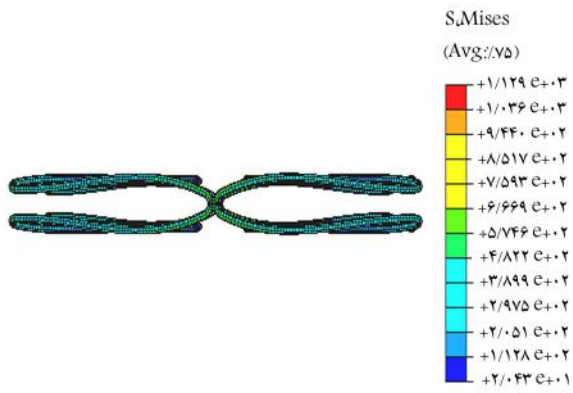


نمودار ۳. مقایسه‌ی رفتار ابرکشسان ناشی از  $90^{\circ}$  درصد لهیدگی انجام شده روی نمونه‌های استنت عرق محيطي در شکل ۱ و برای خواص ماده ۱ در جدول ۱ و خواص ماده ۲ در جدول ۲.

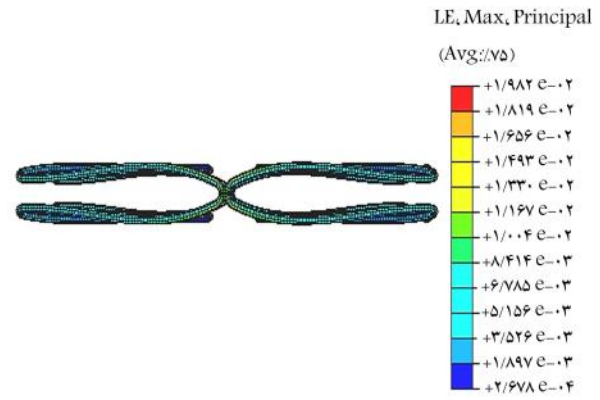
رفتار ابرکشسان ارائه کنند.<sup>[۲۸]</sup> مطابق جدول ۶ و نمودار ۳، هر دو نمونه‌ی استنت رفتار ابرکشسان متاثر از استحاله‌ی مارتزیت تحت تنش در منحنی تنش و کرنش را ارائه دادند. لذا برای کاربرد در عرق محيطي مناسب‌اند، چراکه با توجه به تأثیرات دمای  $A_f$  آلیاز استنت هوشمند، هرقدر دمای  $A_f$  پایین‌تر باشد، سطح بارگذاری



شکل ۱۲. کرنش به دست آمده ناشی از  $70^{\circ}$  درصد لهیدگی انجام شده روی نمونه‌های استنت عرق محيطي در شکل ۱ و برای خواص ماده ۲ در جدول ۲.



شکل ۱۳. تنش فون میسنس به دست آمده ناشی از  $90^{\circ}$  درصد لهیدگی انجام شده روی نمونه‌های استنت عرق محيطي در شکل ۱ و برای خواص ماده ۱ در جدول ۱.



شکل ۱۴. کرنش به دست آمده ناشی از  $90^{\circ}$  درصد لهیدگی انجام شده روی نمونه‌های استنت عرق محيطي در شکل ۱ و برای خواص ماده ۱ در جدول ۱.

ترجیح داده می‌شود. درصد تشکیل مارتزیت در منحنی درونی نمونه استنت با خواص ماده ۱ در جدول ۱ کمتر از نمونه‌ی استنت با خواص ماده ۲ در جدول ۲ بوده، نمونه‌ی دومی نسبت به اولی به دلیل انجام مطابق استحاله‌ی مارتزیتی با عرق محيطي ترجیح داده می‌شود. مطابق مطالعات پیشین، استنت‌های نایتینولی باید در منحنی تنش و کرنش مربوطه‌ی ناحیه‌مارتزیت تحت تنش برای نشان دادن

نوشتار می‌تواند راهی مناسب برای تعیین رفتار مکانیکی استنت‌های مورد کاربرد در عروق محیطی، با توجه به اثرات خواص متالورژیکی و مکانیکی آنها ارائه کند.

## علائم و اختصارات

- $E_A$ : مدول الاستیسیته آستنتیت؛  $MPa$
- $\nu_A$ : ضریب پواسون آستنتیت؛
- $E_M$ : مدول الاستیسیته مارتزیت؛  $MPa$
- $\nu_M$ : ضریب پواسون مارتزیت؛
- $L$ : کرنش تغییرحالت؛
- $(\frac{\sigma}{\delta T})_L$ : تغییرات تنش به دما در حال بارگذاری<sup>۱</sup>؛  $MPa \cdot T^{-1}$
- $\sigma_L^S$ : شروع تنش تغییرحالت بارگذاری؛  $MPa$
- $\sigma_L^E$ : پایان تنش تغییرحالت بارگذاری؛  $MPa$
- $(\frac{\sigma}{\delta T})_U$ : تغییرات تنش به دما در حال باربرداری<sup>۱</sup>؛  $MPa \cdot T^{-1}$
- $\sigma_U^S$ : شروع تنش تغییرحالت باربرداری؛  $MPa$
- $\sigma_U^E$ : پایان تنش تغییرحالت باربرداری؛  $MPa$
- $\sigma_{CL}^S$ : شروع تنش فشاری تغییرحالت باربرداری؛  $MPa$
- $\varepsilon_V^L$ : کرنش حجمی تغییرحالت؛
- $\varepsilon_{max}$ : کرنش ماکزیمم؛
- $\rho$ : چگالی؛  $Kg/m^3$
- $K_A$ : ضریب هدایت حرارتی؛  $W/(m \cdot K)$
- $C_A$ : ظرفیت گرمابی آستنتیت؛  $J/(kg \cdot K)$
- $\alpha_A$ : ضریب انبساط حرارتی آستنتیت؛  $1/K$
- $\alpha_M$ : ضریب انبساط حرارتی مارتزیت؛  $1/K$
- $\rho S_A$ : تغییرات تنش به دما در حال بارگذاری در حالت آستنتیت؛  $MPa/K$
- $\rho S_M$ : تغییرات تنش به دما در حال باربرداری در حالت مارتزیتی؛  $MPa/K$
- $M_f$ : دمای پایان مارتزیتی؛  $K$
- $M_s$ : دمای شروع مارتزیتی؛  $K$
- $A_s$ : دمای شروع آستنتیت؛  $K$
- $A_f$ : دمای پایان آستنتیت؛  $K$
- $T_c$ : دمای مرجع؛  $K$
- $COF$ : نیروی بیرونی مزمن؛  $N$
- $RRF$ : نیروی مقاومتی شعاعی؛  $N$

## تقدیر و تشکر

نویسنده‌گان مقاله از معاونت محترم پژوهشی دانشگاه اراک به خاطر پشتیبانی از این طرح در قالب طرح پژوهشی تحت عنوان «بهینه‌سازی چند هدفی طراحی استنت سپاسگزاری می‌کنند.

و باربرداری تنش در حلقه‌ی هیسترزیس مکانیکی ابرکشسانی بالاتر خواهد رفت (با ازای ۱ درجه پایین‌تر دمای  $A_f$  از دمای بدن، تنش بارگذاری و باربرداری در حد  $4 MPa$  افزایش می‌یابد) و هرچه دمای  $A_f$  استنت بالاتر بوده و به دمای بدن نزدیک‌تر باشد، تنش‌های کمتری هم به عروق وارد می‌کند.<sup>[۲۳، ۲۴]</sup> با توجه به خواص مواد استفاده شده در جدول‌های ۱ تا ۴ که به ترتیب دمای  $A_f$  آنها  $293^\circ K$  و  $30^\circ K$  است، محدوده‌ی اختلاف تنش‌های مسطح بارگذاری و باربرداری حدود  $40 MPa$  است، که با نتایج ارائه شده در نمودار ۳ تطابق مناسبی دارد. علاوه بر آن مطابق استانداردهای ارزیابی استنت‌های نایتیولی در برابر بارگذاری‌های مکانیکی این هستند، این موضوع با کارهای تحقیقاتی دیگران نیز تطابق دارد.<sup>[۲۵، ۲۶]</sup> همچنین با توجه به معادلات ۶ و ۷، جدول ۱ و ۲ نمودار ۳، تغییرات تنش‌های مسطح بالایی و پایینی با تغییرات دمایی بین دمایهای کلینیکی و دمای پایان آستنتیتی سیم‌های ارتدنسی نیز رابطه‌ی مستقیم دارد و با تغییر ۱۰ درجه‌ی دمای پایان آستنتیتی از  $293^\circ$  تا  $30^\circ$  درجه کلوین، تنش‌های مسطح بالایی و پایینی حدود ۱۲ درصد (معادل حدود  $40 MPa$ ) افزایش به دست آمد. از این جهت نیز استنت هوشمند با خواص ماده ۲ به دلیل سطح بالاتر اختلاف تنش‌های مسطح بالایی و پایینی در پایینی در جهت عملکرد مناسب آنها گزینه مناسبی است.

در نهایت مطابق نمودار ۳ و معیارهای مطلوب کلینیکی و مکانیکی استنت‌ها مطابق استاندارد، استنت هوشمند با خواص ماده ۲ در جدول ۲، چون دارای COF کمتر، RRF نسبتاً بیشتر، کرنش تغییر حالت بالاتر حلقه هیسترزیس مکانیکی مربوط به خاصیت ابرکشسانی کامل‌تر، تنش کمتر و کرنش بیشینه در منحنی درونی استنت است، عملکرد مکانیکی و کلینیکی بهتری دارد.

## ۴. نتیجه‌گیری

شبیه‌سازی رفتار لهیدگی استنت‌های هوشمند به دلایلی نظر رفتار کاملاً غیرخطی ماده، هندسه‌ی پیچیده، تغییرشکل زیاد و مشکل تماس، بسیار دشوار است. به دلیل رفتار ابرکشسانی استنت هوشمند، از ایجاد تنش‌های اضافی در لبه به هنگام بارگذاری و باربرداری صرف نظر شد. از مدل آریشیو به دلیل تطابق بیشتر با نتایج تجربی نسبت به مدل لاغوداس، استفاده شد. این مدل بر اساس المان محدود غیرخطی سه‌بعدی، توانایی پیش‌بینی رفتارهای مکانیکی و کلینیکی استنت‌های هوشمند برای بازگردان عروق محیطی را دارد. با تغییر دمای پایان آستنتیتی از  $293^\circ$  تا  $30^\circ$  درجه‌ی کلوین (حدود ۱۰ درجه کلوین)، اختلاف تنش‌های مسطح بالایی و پایینی حدود ۴۰ مگاپاسکال (معادل حدود ۱۲ درصد) افزایش یافت. به طور کلی استنت هوشمند با دمای آستنتیتی بالا به دلایلی نظر نیروی بیرونی مزمن (COF) کم، نیروی مقاومتی شعاعی (RRF) زیاد، کرنش بالا حلقه‌ی کامل هیسترزیس مکانیکی وابسته به رفتار ابرکشسانی و تنش کمتر در منحنی درونی استنت، رفتار مکانیکی مطلوبی را نشان داد. در نظر گرفتن نوع و جنس پلاک تشکیل شده در عروق محیطی به همراه درجه‌ی گرفتگی و انحنای آن، می‌تواند میران دقت شبیه‌سازی را افزایش دهد. این

## پانوشت‌ها

1. Chronic Outward Force
2. Radial Resistive Force

## منابع (References)

1. Stoeckel, D. and Pelton, A. "Self-expanding nitinol stents: material and design considerations", *European Radiology*, **14**, pp. 292-301 (2004).

2. Duerig, T. and Wholey, M. A. "comparison of balloon and self-expanding stents", *Minimal Invas Ther Allied Technol*, **11**(4) p. 173 (2002).
3. Pelton, A.R., Schroeder, V., Mitchell, M.R. and et al. "Fatigue and durability of Nitinol stents", *Journal Mechanical Behavior Biomedical Material*, **1**(2), pp. 153-164 (2008).
4. Valiboy, A.R., Mwipatayi, B.P. and Sieunarine K. "Fracture of a carotid stent: an unexpected complication", *Social Vascular Surgical*, **45**(3), pp 603-606 (2007).
5. Runciman, A., Xu, D., Pelton, A.R. and et al. "An equivalent strain/coffin-manson approach to multiaxial fatigue and life prediction in superelastic nitinol medical devices", *Biomaterials*, **32**, pp. 4987-4993 (2011).
6. Kleinstreuer, C. and Li, Z. "Computational mechanics of Nitinol stent grafts", *Journal of Biomechanic*, **41**, pp. 2370-2378 (2008).
7. Wu, W. and Qi, M. "Delivery and release of nitinol stent in carotid artery and their interactions: a finite element analysis", *Journal of Biomechanic*, **40**(13), pp. 3034-3040 (2007).
8. Azaouzi, M., Makradi, A. and Belouettar, S. "Deployment of a self-expanding stent inside an artery: a finite element analysis", *Material Design*, **41** pp. 410-420 (2012).
9. Garcia, A., Pena, E. and Martinez, M.A. "Influence of geometrical parameters on radial force during self-expanding stent deployment. application for a variable radial stiffness stent", *Journal Mechanical Behavior Biomedical Material*, **10**, pp. 166-175 (2012).
10. Sanjay, P., Georges, L., Nick, P.C. and et al. "Multiobjective design optimization of coronary stents", *Biomaterials*, **32**, pp. 7755-7773 (2011).
11. Ning, L., Hongwu, Z. and Huaijiang, O. "Shape optimization of coronary artery stent based on a parametric model", *Finite Element Analysis Design*, **45** pp. 468-475 (2009).
12. Nematzadeh, F. and Sadrnezhaad, S.K. "Effects of crimping on mechanical performance of nitinol stent designed for femoral artery: finite element analysis", *Journal of Materials Engineering and Performance*, **22**(11), pp. 3228-3236 (2014).
13. Wang, R., Zuo, H., Yang, Y.M. and et al. "Finite element simulation and optimization of radial resistive force for shape memory alloy vertebral body stent", *Journal of Intelligent Material Systems and Structures*, **28**(15), pp. 2140-2150 (2017).
14. Nematzadeh, F. "Computational evaluation of the impact of friction coefficient on self-expanding stent and peripheral artery during contact", *Journal of Environmental Friendly Materials*, **2**(2), pp. 29-35 (2018).
15. Zheng, Q., Mzafari, H., Li, Z. and et al. "Mechanical characterization of braided self-expanding stents: impact of design parameters", *Journal of Mechanics in Medicine and Biology*, **19**, pp.1-16 (2019).
16. Kumar, G.P., Commillus, A.L. and Cui, F. "A finite element simulation method to evaluate the crimpability of curved stents", *Medical Engineering & Physics*, **4** pp. 162-165 (2019).
17. Chen, C., Chen, J., Wu, W. and et al. "In vivo and in vitro evaluation of a biodegradable magnesium vascular stent designed by shape optimization strategy", *Biomaterials*, **221**, pp.1-30 (2019).
18. Rouhani, F., Fereidoonbehzad, B. and Zakerzadeh, A.M.R. "A computational study on vascular damage caused by shape memory alloy self-expandable and balloon-expandable stents in a stenosed artery", *Journal of Intelligent Material Systems and Structures* (2019). DOI: <https://doi.org/10.1177/1045389X19880021>.
19. Jayendirana, R., Nourb, B. and Ruimia. "A Computational analysis of Nitinol stent-graft for endovascular aortic repair (EVAR) of abdominal aortic aneurysm (AAA): crimping, sealing and fluid-structure interaction (FSI)", *International Journal of Cardiology*, (2019). DOI: <https://doi.org/10.1016/j.ijcard.2019.11.091>.
20. Lei, L., Qi, X., Li, S. and et al. "Finite element analysis for fatigue behavior of a self-expanding nitinol peripheral stent under physiological biomechanical conditions", *Computers in Biology and Medicine*, **104**, pp. 205-214 (2019).
21. Zhou, X.C., Yang, F., Yan Gong, X. and et al. "New Nitinol endovascular stent-graft system for abdominal aortic aneurysm with finite element analysis and experimental verification", *Rare Metals* (2019). DOI: <https://doi.org/10.1007/s12598-019-01250>.
22. Elsyis, M., Tillman, B., GO, C. and et al. "Comprehensive assessment of mechanical behavior of an extremely long stent graft to control hemorrhage in torso", *Journal of Biomedical Materials Research Part B Applied Biomaterials*, **108**(5), pp.2192-2203 (2020). DOI: <https://doi.org/10.1002/jbm.b.34557>.
23. Masoumi Khalil Abad, E., Pasini, D. and Cerere, R. "Shape optimization of stress concentration-free lattice for self-expandable nitinol stent-grafts", *Journal of Biomechanics*, **45**, pp. 1028-35 (2012).
24. Santillo, M. "Fracture and crack propagation study of a superficial femoral artery nitinol stent", Ms Thesis. University of Pavia, Italy (2008).
25. De Beule, M., Van Cauter, S., Mortier, P. and et al. "Virtual optimization of self-expandable braided wire stents", *Medical Engineering Physics*, **31**, pp. 448-53 (2009).
26. Nuutinen, J.-P., Clerc, C. and Tormala, P. "Theoretical and experimental evaluation of the radial force of self-expanding braided bioabsorbable stents", *Journal of Biomaterials Science Polymre Edition*, **14**(7), pp. 677-687 (2003).
27. Morgan, R. and Adam, A. "Use of metallic stents and balloons in the esophagus and gastrointestinal tract", *Journal Vascular Interventional Radiology*, **12**(3), pp. 283-297 (2001).
28. Petrini, L. and Migliavacca, F. "Computational studies of shape memory alloy behavior in biomedical applications", *Journal Iomechanics Engineering*, **127**(4), pp. 716-725 (2005).
29. Nematzadeh, F. and Sadrnezhaad, S. "Effects of material properties on mechanical performance of nitinol stent designed for femoral artery: finite element analysis", *Scientia. Irnica*, **19**(6), pp. 1564-1571 (2012).

30. Auricchio, F. and Taylor, R. "Shape-memory alloys: modeling and numerical simulations of the finite-strain super elastic behavior", *Computer Methods in Applied Mechanics and Engineering*, **143**, pp. 175-194 (1996).
31. Lubliner, J. and Auricchio, F. "Generalized plasticity and shape memory alloy", *International Journal of Solids and Structures*, **33**, pp. 991-1003 (1996).
32. Gong, X. and Duerig, T. "Finite element analysis and experimental evaluation of superelastic Nitinol stents", In *Proceedings of the International Conference on Shape Memory and Superelastic Technology Conference - SMST*, pp. 417-423 (2003).